

# Алгоритм повышения качества смазанных снимков для GPU

А. А. Тихонов<sup>1</sup>

<sup>1</sup>МГУ, ВМК, каф. ММП

Доклад на спецсеминаре  
«Байесовские методы машинного обучения»



# Содержание

## Проблема смазанных изображений

- Примеры смазанных изображений
- Возможные причины смазанности

## Обзор методов восстановления

- Общепринятая модель размытия
- Восстановление с известным ядром

## Предлагаемый для реализации метод

### Формализованное решение

- Правило Байеса
- Шум
- Ядро
- Скрытое изображение

### Оптимизация

- Приближение скрытого изображения  $\mathbf{L}$
- Вычисление приближения градиента  $\partial \mathbf{L} - \Psi$
- Обновление  $\mathbf{L}$
- Нахождение ядра свертки  $\mathbf{f}$

### Алгоритм для реализации



Проект выполняется в рамках  
«Всероссийской молодежной школы по суперкомпьютерным  
технологиям».

Задание предложено компанией NVIDIA.

Кураторы проекта — А. В. Боресков и М. Смирнов



<http://school.hpc-russia.ru/>



# Содержание

## Проблема смазанных изображений

Примеры смазанных изображений

Возможные причины смазанности

## Обзор методов восстановления

Общепринятая модель размытия

Восстановление с известным ядром

## Предлагаемый для реализации метод

Формализованное решение

Правило Байеса

Шум

Ядро

Скрытое изображение

Оптимизация

Приближение скрытого изображения  $\mathbf{L}$

Вычисление приближения градиента  $\partial \mathbf{L} - \Psi$

Обновление  $\mathbf{L}$

Нахождение ядра свертки  $\mathbf{f}$

Алгоритм для реализации





# Содержание

## Проблема смазанных изображений

Примеры смазанных изображений

Возможные причины смазанности

## Обзор методов восстановления

Общепринятая модель размытия

Восстановление с известным ядром

## Предлагаемый для реализации метод

Формализованное решение

Правило Байеса

Шум

Ядро

Скрытое изображение

Оптимизация

Приближение скрытого изображения  $\mathbf{L}$

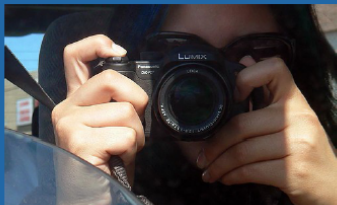
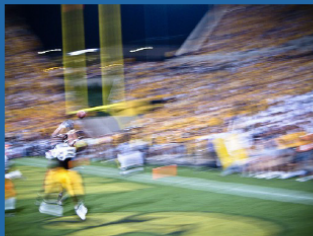
Вычисление приближения градиента  $\partial \mathbf{L} - \Psi$

Обновление  $\mathbf{L}$

Нахождение ядра свертки  $\mathbf{f}$

Алгоритм для реализации





Причинами смазанности могут выступать различные факторы:

- ▶ Движение камеры в процессе съемки изображения;
- ▶ Съемка на длинной выдержке, когда сцена сама претерпевает изменения;
- ▶ Расфокусированность оптики;
- ▶ Использование широкоугольных объективов;
- ▶ Атмосферная турбулентность;
- ▶ Съемка на короткой выдержке, что не позволяет захватить достаточно фотонов;
- ▶ Рассеяние света в конфокальной микроскопии;





# Содержание

## Проблема смазанных изображений

- Примеры смазанных изображений
- Возможные причины смазанности

## Обзор методов восстановления

- Общепринятая модель размытия
- Восстановление с известным ядром

## Предлагаемый для реализации метод

- Формализованное решение
  - Правило Байеса
  - Шум
  - Ядро
  - Скрытое изображение

## Оптимизация

- Приближение скрытого изображения  $\mathbf{L}$
- Вычисление приближения градиента  $\partial \mathbf{L} - \Psi$
- Обновление  $\mathbf{L}$
- Нахождение ядра свертки  $\mathbf{f}$

## Алгоритм для реализации



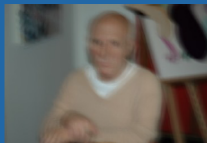
Общепринятая модель размытия — свертка

$$\mathbf{l} = \mathbf{L} \otimes \mathbf{f} + \mathbf{n};$$

$\mathbf{n}$  — шум

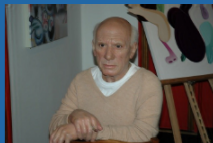


# Blur Model



Blurred image  $I$

=



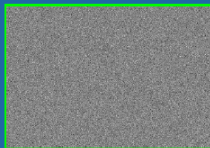
Sharp image  $L$

$\otimes$



Blur kernel  $f$

+



Camera Noise  $n$



# Содержание

## Проблема смазанных изображений

- Примеры смазанных изображений
- Возможные причины смазанности

## Обзор методов восстановления

- Общепринятая модель размытия
- Восстановление с известным ядром**

## Предлагаемый для реализации метод

- Формализованное решение
  - Правило Байеса
  - Шум
  - Ядро
  - Скрытое изображение

## Оптимизация

- Приближение скрытого изображения  $\mathbf{L}$
- Вычисление приближения градиента  $\partial \mathbf{L} - \Psi$
- Обновление  $\mathbf{L}$
- Нахождение ядра свертки  $\mathbf{f}$

## Алгоритм для реализации





Non-blind deconvolution



Blind deconvolution

# Фильтр Винера из обработки сигналов

$$y(t) = h(t) \otimes x(t) + v(t);$$

$x(t)$  — входной сигнал в момент времени  $t$

$h(t)$  — известный импульсный отклик линейной инвариантной к сдвигу во времени системы

$v(t)$  — шум, не зависящий от  $x(t)$

$y(t)$  — наблюдаемый сигнал



Цель — найти такую  $g(t)$ , что можно вычислить приближение  $x(t)$ :

$$\hat{x}(t) = g(t) \otimes y(t);$$

Причем ищем такое  $\hat{x}(t)$ , которое минимизирует матожидание квадрата отклонения от  $x(t)$ .



Фильтр Винера дает такой ответ:

$$G(f) = \frac{H^*(f)S(f)}{|H(f)|^2S(f) + N(f)};$$

Где:

- $G(f)$  и  $H(f)$  есть образы Фурье соответственно  $g$  и  $h$ , где  $f$
- некоторая частота
- $S(f)$  — средняя спектральная плотность входного сигнала  $x(t)$
- $N(f)$  — средняя спектральная плотность шума  $v(t)$
- под знаком  $*$  понимается комплексное сопряжение





Смысл работы фильтра Винера:

$$G(f) = \frac{1}{H(f)} \left[ \frac{|H(f)|^2}{|H(f)|^2 + \frac{N(f)}{S(f)}} \right];$$

Неизвестные спектральные плотности на практике часто удается оценить/приблизить.



Хотим минимизировать среднеквадратичную ошибку:

$$\epsilon(f) = \mathbb{E} \left| X(f) - \hat{X}(f) \right|^2$$

$$\epsilon(f) = \mathbb{E} |X(f) - G(f)Y(f)|^2$$

$$= \mathbb{E} |X(f) - G(f)[H(f)X(f) + V(f)]|^2$$

$$= \mathbb{E} | [1 - G(f)H(f)] X(f) - G(f)V(f) |^2$$

$$\epsilon(f) = \left[ 1 - G(f)H(f) \right] \left[ 1 - G(f)H(f) \right]^* \mathbb{E} |X(f)|^2$$

$$+ \left[ 1 - G(f)H(f) \right] G^*(f) \mathbb{E} \left\{ X(f)V^*(f) \right\}$$

$$+ G(f) \left[ 1 - G(f)H(f) \right]^* \mathbb{E} \left\{ V(f)X^*(f) \right\}$$

$$+ G(f)G^*(f) \mathbb{E} |V(f)|^2$$

Шум не зависит от сигнала:

$$\mathbb{E} \left\{ X(f)V^*(f) \right\} = \mathbb{E} \left\{ V(f)X^*(f) \right\} = 0$$

Спектральные плотности определим так:

$$S(f) = \mathbb{E} |X(f)|^2 \quad N(f) = \mathbb{E} |V(f)|^2$$



Итого:

$$\begin{aligned}\epsilon(f) &= [1 - G(f)H(f)] [1 - G(f)H(f)]^* S(f) \\ &\quad + G(f)G^*(f)N(f)\end{aligned}$$

Чтобы ошибка была минимальна, дифференцируем по  $G(f)$  и приравниваем к нулю.

$$\begin{aligned}\frac{d\epsilon(f)}{dG(f)} &= G^*(f)N(f) - H(f) [1 - G(f)H(f)]^* S(f) = 0; \\ G(f) &= \frac{H^*(f)S(f)}{|H(f)|^2 S(f) + N(f)};\end{aligned}$$



## Пример работы фильтра Винера



$$G(f) = \frac{H^*(f)}{|H(f)|^2 + r(f)} G_0(f);$$

Существуют и другие аналогичные фильтры. По сути есть байесовская регуляризация решения. Регуляризация необходима вследствие «некорректности» задачи восстановления. В [5] подробно излагается, что тут возможны два способа регуляризации — согласно байесовскому выводу и по Тихонову. Оба вводят априорные знания: байесовская (вероятностная) — о плотности распределения всех изображений-кандидатов, давая приоритет более вероятным, по Тихонову (детерминистская) — некий специальный энергетический функционал (к примеру,  $a\|u\|^2$ ).



# Алгоритм Люси-Ричардсона

Пиксели наблюдаемого изображения могут быть выражены с помощью ядра и скрытого изображения:

$$d_i = \sum_j p_{ij} u_j$$

где  $p_{ij}$  есть пиксель ядра,  $u_j$  — яркость  $j$ -го пикселя скрытого изображения, а  $d_i$  — наблюдаемая яркость  $i$ -го пикселя.



Идея метода в попытке найти наиболее вероятные значения  $u_j$ , имея значения  $d_i$  и  $p_{ij}$ . Это дает уравнения для  $u_j$ , которые решаются итеративно по формуле:

$$u_j^{(t+1)} = u_j^{(t)} \sum_i \frac{d_i}{c_i} p_{ij}$$

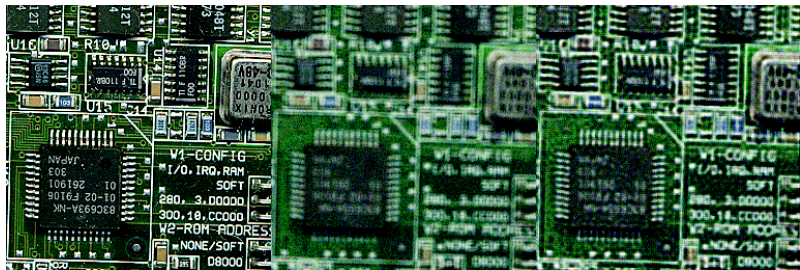
Здесь  $c_i = \sum_j p_{ij} u_j^{(t)}$ .

Эмпирически показано [3], что если метод сходится, то он сходится к ответу с наибольшим правдоподобием.

Если ядро не так тривиально, имеет один и более неизвестный параметр, метод перестает работать.



Пример работы метода Люси-Ричардсона:





На практике ядро неизвестно почти всегда. Поэтому давно идут попытки оценить его так или иначе.

Придуманы аппаратные устройства, позволяющие оценить ядро (два отдельных кадра, кадры с разной фокусировкой, освещенностью, парные камеры, фото + видео и т. д.), многие программные методы также требуют дополнительной.



Пример аппаратного устройства [?]:



Пример его работы:



Все это неудобно, и обычно неприменимо из-за дороговизны и сложности. Поэтому важной задачей является построение хорошего универсального алгоритма, который сможет оценить ядро и затем восстановить изображение по одному изображению.



Один из лучших с точки зрения качества алгоритм такого рода описан в [1]. Он представляет собой двухшаговый итерационный процесс, одна из итераций которого восстанавливает картинку для некоторого приближения ядра, а другая производит уточнение этого ядра по полученному на первом шаге снимку.



# Содержание

## Проблема смазанных изображений

- Примеры смазанных изображений
- Возможные причины смазанности

## Обзор методов восстановления

- Общепринятая модель размытия
- Восстановление с известным ядром

## Предлагаемый для реализации метод

### Формализованное решение

- Правило Байеса
- Шум
- Ядро
- Скрытое изображение

### Оптимизация

- Приближение скрытого изображения  $\mathbf{L}$
- Вычисление приближения градиента  $\partial \mathbf{L} - \Psi$
- Обновление  $\mathbf{L}$
- Нахождение ядра свертки  $\mathbf{f}$

### Алгоритм для реализации



По формуле условной вероятности:

$$p(\mathbf{L}, \mathbf{f}|\mathbf{I}) \propto p(\mathbf{I}|\mathbf{L}, \mathbf{f})p(\mathbf{L})p(\mathbf{f});$$

Теперь рассмотрим каждый множитель.



Шум  $\mathbf{n}$  — одинаковое распределение (нормальное) для всех пикселей изображения. Подсчитываем правдоподобие изображения-кандидата на основе значений шума (вычисленных как разность этого изображения  $\mathbf{I}$  и известного наблюдаемого  $\mathbf{L}$ ) и его первых и вторых градиентов.

$$p(\mathbf{I}|\mathbf{L}, \mathbf{f}) = \prod_{\partial^* \in \Theta} \prod_i \mathcal{N}(\partial^* n_i | 0, \zeta_{\kappa}(\partial^*)) = \prod_{\partial^* \in \Theta} \prod_i \mathcal{N}(\partial^* I_i | \partial^* I_i^c, \zeta_{\kappa}(\partial^*));$$

$\Theta$  — множество производных ( $\Theta = (\partial^0, \partial_x, \partial_y, \partial_{xx}, \partial_{xy}, \partial_{yy})$ ),  $I_i^c$  —  $i$ -й пиксель изображения  $\mathbf{I}^c = \mathbf{L} \otimes \mathbf{f}$ .





Априорная вероятность конфигурации ядра свертки  $p(\mathbf{f})$  выбрана таким образом, чтобы оно было разреженным, соответственно движению камеры:

$$p(\mathbf{f}) = \prod_j e^{-\tau f_j};$$

Здесь  $\tau$  — параметр скорости [движения камеры],  $j$  индексирует все пиксели ядра.

Таким образом, наиболее вероятное ядро — с нулевыми коэффициентами.



Разложим правдоподобие в произведение локальной и глобальной компонент:

$$p(\mathbf{L}) = p_g(\mathbf{L})p_l(\mathbf{L});$$

Каждую из них далее рассмотрим отдельно.



Авторы предлагают простую формулу, аппроксимирующую функцию распределения плотностей в реальных изображениях, которая подсчитана статистически. В предыдущих работах по данной теме были проведены попытки приблизить такую функцию смесью гауссиан в каждой точке изображения, но это выливается (при логарифмировании) в необходимость оптимизировать логарифм от суммы экспоненциальных зависимостей, что на практике является сложной и неустойчивой задачей.



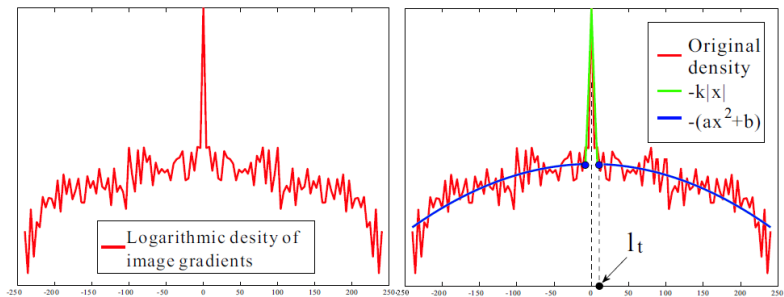


Рис.: График распределения градиентов в реальных изображениях и предлагаемая аппроксимация



Предлагаемая аппроксимирующая формула крайне проста:

$$\Phi(x) = \begin{cases} -k|x|, & \text{если } x < l_t; \\ -(ax^2 + b), & \text{если } x \geq l_t. \end{cases};$$

Здесь  $k, a, b, l_t$  — некоторые коэффициенты. С использованием этого приближения глобальная компонента ищется по формуле:

$$p_g(\mathbf{L}) \propto \prod_i e^{\Phi(\partial L_i)};$$



Локальная компонента вводится только для тех областей изображения, где локальная дисперсия (которая считается в окне того же размера, что и ядро свертки) небольшая. В этих областях градиенты исходного и размытого изображений не должны сильно отличаться. Поэтому предлагается использовать нормальное распределение:

$$p_I(\mathbf{L}) = \prod_{i \in \Omega} \mathcal{N}(\partial_x L_i - \partial_x I_i | 0, \sigma_1) \mathcal{N}(\partial_y L_i - \partial_y I_i | 0, \sigma_1);$$

Здесь за  $\Omega$  обозначены точки изображения с локальной дисперсией менее некоторой константы.



1. Which is the most abundant gas in Earth's atmosphere?

2. What is the most abundant liquid on Earth's surface?

3. Which is the most abundant solid on Earth's surface?

4. How do you estimate the relative number of atoms in a mixture?

5. What is the most abundant element in the Earth's crust?

6. What is the most abundant element in the universe?

7. What is the most abundant element in the sun?

8. What is the most abundant element in the Earth's core?

9. What is the most abundant element in the Earth's mantle?

10. What is the most abundant element in the Earth's oceans?



# Содержание

## Проблема смазанных изображений

- Примеры смазанных изображений
- Возможные причины смазанности

## Обзор методов восстановления

- Общепринятая модель размытия
- Восстановление с известным ядром

## Предлагаемый для реализации метод

- Формализованное решение
  - Правило Байеса
  - Шум
  - Ядро
  - Скрытое изображение

## Оптимизация

- Приближение скрытого изображения  $\mathbf{L}$
- Вычисление приближения градиента  $\partial \mathbf{L} - \Psi$
- Обновление  $\mathbf{L}$
- Нахождение ядра свертки  $\mathbf{f}$

## Алгоритм для реализации





$$E(\mathbf{L}, \mathbf{f}) = -\log p(\mathbf{L}, \mathbf{f}|\mathbf{I});$$

$$E(\mathbf{L}, \mathbf{f}) \propto \left( \sum_{\partial^* \in \Omega} w_{\kappa(\partial^*)} \|\partial^* \mathbf{L} \otimes \mathbf{f} - \partial^* \mathbf{I}\|_2^2 \right) + \lambda_1 \|\Phi(\partial_x \mathbf{L}) + \Phi(\partial_y \mathbf{L})\|_1 + \\ + \lambda_2 \left( \|\partial_x \mathbf{L} - \partial_x \mathbf{I}\|_2^2 \circ \mathbf{M} + \|\partial_y \mathbf{L} - \partial_y \mathbf{I}\|_2^2 \circ \mathbf{M} \right) + \|\mathbf{f}\|_1; \quad (1)$$

Здесь  $\circ$  обозначает поэлементную операцию умножения.  $\mathbf{M}$  — маска, выделяющая в изображении точки с небольшой локальной дисперсией (из  $\Omega$ ). Параметры были для простоты переобозначены, а именно:

$$w_{\kappa(\partial^*)} = \frac{1}{\zeta_{\kappa(\partial^*)}^2 \tau}, \quad \lambda_1 = \frac{1}{\tau}, \quad \lambda_2 = \frac{1}{\sigma_1^2 \tau};$$

Прямая оптимизация этого функционала сложна, сходимость медленная. Авторы [1] предлагают свой вариант, основанный на пошаговой оптимизации  $\mathbf{L}$ , а затем  $\mathbf{f}$ .



Зафиксируем некоторое приближение ядра  $\mathbf{f}$ :

$$E_{\mathbf{L}}(\mathbf{L}, \mathbf{f}) = \left( \sum_{\partial^* \in \Omega} w_{\kappa(\partial^*)} \|\partial^* \mathbf{L} \otimes \mathbf{f} - \partial^* \mathbf{I}\|_2^2 \right) + \lambda_1 \|\Phi(\partial_x \mathbf{L}) + \Phi(\partial_y \mathbf{L})\|_1 + \\ + \lambda_2 \left( \|\partial_x \mathbf{L} - \partial_x \mathbf{I}\|_2^2 \circ \mathbf{M} + \|\partial_y \mathbf{L} - \partial_y \mathbf{I}\|_2^2 \circ \mathbf{M} \right);$$

Это сильно невыпуклая функция от многих тысяч переменных, Прямая оптимизация очень трудоемка (а это нужно делать на каждой итерации).



Введем дополнительные переменные  $\Psi = (\Psi_x, \Psi_y)$ , которые будут аппроксимировать  $\partial \mathbf{L}$ , таким образом, каждой паре градиентов пикселя  $i - (\partial_x L_i, \partial_y L_i) \in \partial \mathbf{L}$  — будет соответствовать пара  $(\psi_{i,x}, \psi_{i,y}) \in \Psi$ .

При фиксированном  $\mathbf{L}$  можно найти такие  $\Psi$ , которые будут минимизировать энергию. То есть, вместо подбора всего изображения, подберем лишь его градиент (влияет лишь на часть выражения), а затем по найденным градиентам обновим  $\mathbf{L}$ . То есть, перешли к минимизации:

$$\begin{aligned}
 E_{\mathbf{L}}(\mathbf{L}', \mathbf{f}) = & \left( \sum_{\partial^* \in \Omega} w_{\kappa(\partial^*)} \|\partial^* \mathbf{L} \otimes \mathbf{f} - \partial^* \mathbf{I}\|_2^2 \right) + \lambda_1 \|\Phi(\Psi_x) + \Phi(\Psi_y)\|_1 + \\
 & + \lambda_2 \left( \|\Psi_x - \partial_x \mathbf{I}\|_2^2 \circ \mathbf{M} + \|\Psi_y - \partial_y \mathbf{I}\|_2^2 \circ \mathbf{M} \right) + \\
 & + \gamma \left( \|\Psi_x - \partial_x \mathbf{L}\|_2^2 + \|\Psi_y - \partial_y \mathbf{L}\|_2^2 \right);
 \end{aligned}$$



С увеличением номера итерации параметр регуляризации по отклонению градиентов  $\gamma$  также будет расти, и в конечном итоге  $\Psi$  будет практически совпадать с  $\partial\mathbf{L}$ , что означает, что минимизация  $E_{\mathbf{L}}'$  через несколько шагов процесса будет эквивалентна минимизации  $E_{\mathbf{L}}$ .  
Распишем оба шага подробнее.



При фиксированном  $\mathbf{L}$ , а значит, и  $\partial\mathbf{L}$ , остается оптимизировать  $E_\Psi$ :

$$E_\Psi(\mathbf{L}, \mathbf{f}) = \lambda_1 \|\Phi(\Psi_x) + \Phi(\Psi_y)\|_1 + \lambda_2 \|\Psi_x - \partial_x \mathbf{I}\|_2^2 \circ \mathbf{M} + \lambda_2 \|\Psi_y - \partial_y \mathbf{I}\|_2^2 \circ \mathbf{M} + \gamma \|\Psi_x - \partial_x \mathbf{L}\|_2^2 + \gamma \|\Psi_y - \partial_y \mathbf{L}\|_2^2; \quad (2)$$

Можно произвести дальнейшее разделение по пикселям и координатам  $x, y$ , получим, что для  $\nu \in \{x, y\}$  нужно минимизировать:

$$E_{\psi_{i,\nu}} = \lambda_1 |\Phi(\psi_{i,\nu})| + \lambda_2 m_i (\Psi_{i,\nu} - \partial_\nu l_i)^2 + \gamma (\Psi_{i,\nu} - \partial_\nu L_i)^2;$$



Каждая компонента  $E_{\psi_{i,\nu}}$  содержит лишь одну переменную  $\psi_{i,\nu}$ , поэтому они легко могут быть оптимизированы, а результаты собраны вместе.

$\Phi$  состоит из 4-х выпуклых частей, каждая может быть оптимизирована отдельно, а затем лучший результат взят для определения глобально минимального  $\Psi$ .



При фиксированном  $\Psi$ , будем обновлять  $\mathbf{L}$ , минимизируя по нему следующее выражение:

$$E'_{\mathbf{L}} = \left( \sum_{\partial^* \in \Omega} w_{\kappa(\partial^*)} \|\partial^* \mathbf{L} \otimes \mathbf{f} - \partial^* \mathbf{I}\|_2^2 \right) + \\ + \gamma \|\Psi_x - \partial_x \mathbf{L}\|_2^2 + \gamma \|\Psi_y - \partial_y \mathbf{L}\|_2^2;$$

Так как здесь присутствует свертка, выгодно перейти к работе с образами Фурье. Если обозначить оператор преобразования Фурье за  $\mathcal{F}$ , а за  $\mathcal{F}^{-1}$  — ему обратный, то получим:

$$E'_{\mathcal{F}(\mathbf{L})} = \left( \sum_{\partial^* \in \Omega} w_{\kappa(\partial^*)} \|\mathcal{F}(\mathbf{L}) \circ \mathcal{F}(\mathbf{f}) \circ \mathcal{F}(\partial^*) - \mathbf{F}(\mathbf{I}) \circ \mathcal{F}(\partial^*)\|_2^2 \right) + \\ + \gamma \|\mathcal{F}(\Psi_x) - \mathcal{F}(\mathbf{L}) \circ \mathcal{F}(\partial_x)\|_2^2 + \gamma \|\mathcal{F}(\Psi_y) - \mathcal{F}(\mathbf{L}) \circ \mathcal{F}(\partial_y)\|_2^2;$$



Ссылаясь на формулу Планшереля, авторы [1] переходят от минимизации  $E_{\mathbf{L}}'$  к эквивалентной задаче минимизации  $E'_{\mathcal{F}(\mathbf{L})}$ . Таким образом, искомое значение затем находится с помощью обратного преобразования Фурье:

$$\mathbf{L}^* = \mathcal{F}^{-1}(\arg \min_{\mathcal{F}(\mathbf{L})} E_{\mathcal{F}(\mathbf{L})})';$$





Теперь минимальное значение такой энергии может быть получено, если приравнять к нулю его производную  $\partial E'_{\mathcal{F}(\mathbf{L})} / \partial \mathcal{F}_{\mathbf{L}}$ , это можно сделать в явном виде, откуда:

$$\mathbf{L}^* = \mathcal{F}^{-1} \left( \frac{\overline{\mathcal{F}(\mathbf{f})} \circ \mathcal{F}(\mathbf{l}) \circ \Delta + \gamma \overline{\mathcal{F}(\partial_x)} \circ \mathcal{F}(\Psi_x) + \gamma \overline{\mathcal{F}(\partial_y)} \circ \mathcal{F}(\Psi_y)}{\overline{\mathcal{F}(\mathbf{f})} \circ \mathcal{F}(\mathbf{f}) \circ \Delta + \gamma \overline{\mathcal{F}(\partial_x)} \circ \mathcal{F}(\partial_x) + \gamma \overline{\mathcal{F}(\partial_y)} \circ \mathcal{F}(\partial_y)} \right); \quad (3)$$

Тут  $\Delta = \sum_{\partial^* \in \Theta} w_{\kappa(\partial^*)} \overline{\mathcal{F}(\partial^*)} \circ \mathcal{F}(\partial^*)$ ,  $\overline{(\cdot)}$  обозначает оператор комплексного сопряжения, и деление производится поэлементно.



Будем оптимизировать энергию при фиксированном  $\mathbf{L}$ :

$$E(\mathbf{f}) = \left( \sum_{\partial^* \in \Omega} w_{\kappa(\partial^*)} \|\partial^* \mathbf{L} \otimes \mathbf{f} - \partial^* \mathbf{I}\|_2^2 \right) + \|\mathbf{f}\|_1; \quad (4)$$

Авторы алгоритма ссылаются на работу [2], в которой функционал такого вида успешно оптимизируется с помощью специального interior point method.





# Содержание

## Проблема смазанных изображений

- Примеры смазанных изображений
- Возможные причины смазанности

## Обзор методов восстановления

- Общепринятая модель размытия
- Восстановление с известным ядром

## Предлагаемый для реализации метод

- Формализованное решение
  - Правило Байеса
  - Шум
  - Ядро
  - Скрытое изображение

## Оптимизация

- Приближение скрытого изображения  $\mathbf{L}$
- Вычисление приближения градиента  $\partial \mathbf{L} - \Psi$
- Обновление  $\mathbf{L}$
- Нахождение ядра свертки  $\mathbf{f}$

## Алгоритм для реализации



Схема полученного алгоритма:

**Вход:**

$\mathbf{I}$  — размытое изображение,  $\mathbf{f}$  — начальное приближение ядра;

**Выход:**

$\mathbf{L}$  — искомое четкое изображение,  $\mathbf{f}$  — исходное ядро размытия;

$\mathbf{L} \leftarrow \mathbf{I}$ ; // инициализация скрытого изображения  
наблюдаемым;

оптимизация  $\mathbf{L}$  и  $\mathbf{f}$ :

**повторять**

оптимизация  $\mathbf{L}$ :

**повторять**

Обновить  $\Psi$ , минимизируя (2);

Вычислить  $\mathbf{L}$  согласно (3);

пока  $\|\Delta \mathbf{L}\|_2 < 1 \times 10^{-5}$  и  $\|\Delta \Psi\|_2 < 1 \times 10^{-5}$ ;

Обновить  $\mathbf{f}$ , минимизируя (4);

пока  $\|\Delta \mathbf{f}\|_2 < 1 \times 10^{-5}$  или максимальное число итераций  
завершено;






Итого два итерационных процесса — внутренний (вложенный), чередование вычисления  $\Psi$  и  $\mathbf{L}$ , и внешний, вычисление очередного приближения скрытой картинки  $\mathbf{L}$  и на его основе уточнение ядра  $\mathbf{f}$ .



# Литература

-  Shan Q., Jia J., Agarwala A. — High-quality Motion Deblurring from a Single Image.// ACM Transactions on Graphics (SIGGRAPH), 2008.
-  Tony F. C., Shen J. — Theory and Computation of Variational Image Deblurring, 2005.
-  Гонсалес Р., Вудс Р. — Цифровая обработка изображений.// М.: Техносфера, 2005.
-  Richardson W. H. — Bayesian-Based Iterative Method of Image Restoration.// Journal of the Optical Society of America, vol. 62, 1, 1972.
-  Tony F. C., Shen J. — Theory and Computation of Variational Image Deblurring, 2005.



-  de Branges L., — Hilbert spaces of entire functions.// Prentice-Hall, N. Y., 1968
-  Kim S.-J., Koh K., Lustig M., Boyd S. — An efficient method for compressed sensing.// ICIP proceedings, 2007
-  Shepp, L. A.; Vardi, Y. (1982), "Maximum Likelihood Reconstruction for Emission Tomography IEEE Transactions on Medical Imaging



Спасибо за внимание

